# 精炼渣中 TiO<sub>2</sub> 对含 Ti 铁素体不锈钢 夹杂物的影响

冯晓霞1 王 旗1 谭 博1 王丽君1 周国治2

(1.北京科技大学钢铁共性技术协同创新中心,北京 100083; 2.北京科技大学钢铁冶金新技术国家重点实验室,北京 100083)

摘 要: 实验室条件下使用 Al 脱氧 考察精炼渣中  $TiO_2$  对含 Ti 不锈钢中夹杂物的影响。结果表明 精炼渣中不含  $TiO_2$  时 ,夹杂物从  $Al_2O_3$  区向  $MgO-Al_2O_3$  区演变 .形成  $MgO-Al_2O_3$  的直径约  $4~\mu m$ ; 精炼渣中含有  $TiO_2$  时 ,夹杂物先 向高  $TiO_2$  区演变 .再向  $MgO-Al_2O_3$  区演变 最终形成  $2\sim3~\mu m$  的  $MgO-Al_2O_3-TiO_4$ 。分析表明 ,当精炼渣中含有  $TiO_2$  时 ,夹杂物中出现  $TiO_2$  .减小了夹杂物的尺寸 ,而且精炼渣中添加  $TiO_2$  使得渣中  $TiO_2$  的活度增大 ,抑制了钢中  $TiO_3$  的氧化 增加了  $TiO_4$  的析出数量与尺寸 ,导致周围富集的  $TiO_4$  。减小了  $TiO_4$  的尺寸。

关键词: 不锈钢; 精炼渣; TiO2; 夹杂物; TiN

中图分类号: TF769 ,TF703 文献标志码: A

文章编号: 1004-7638( 2020) 02-0108-06 开放科学( 资源服务) 标识码( OSID) :

听语音 聊科研

# Effect of TiO<sub>2</sub> in Refining Slag on Inclusions in Ti-Ferritic Stainless Steel

Feng Xiaoxia<sup>1</sup> ,Wang Qi<sup>1</sup> ,Tan Bo<sup>1</sup> ,Wang Lijun<sup>1</sup> ,Chou Kuochin<sup>2</sup>

(1.Collaborative Innovation Center of Steel Technology "University of Science and Technology Beijing "Beijing 100083 "China; 2.State Key Laboratory of Advanced Metallurgy "University of Science and Technology Beijing "Beijing 100083 "China)

**Abstract**: The effect of  $\text{TiO}_2$  in the refining slag on the inclusions in Ti-containing stainless steel was investigated under laboratory conditions during Al deoxidation. The results indicate that the inclusions initial  $\text{Al}_2\text{O}_3$  forms then change into  $\text{MgO-Al}_2\text{O}_3$  type inclusions with the dimention of 4  $\mu\text{m}$  when the top slag does not contain  $\text{TiO}_2$ . In the case of  $\text{TiO}_2$ -bearing slag the inclusion composition is migrated firstly to the high  $\text{TiO}_x$  region then to  $\text{MgO-Al}_2\text{O}_3$  types. Finally  $\text{TiO}_2\text{-MgO-Al}_2\text{O}_3$  forms in average size of  $2 \sim 3 \mu\text{m}$ . The inclusion size is decreased with the addition of  $\text{TiO}_2$ . And the presentence of  $\text{TiO}_2$  in top slag can prevent the oxidation of Ti in molten steel by increasing the activity of  $\text{TiO}_2$  in slag phase. Meanwhile ,TiN precipitation is enhanced both in amount and size ,which also lowers the Nb content around TiN. Thus ,NbC participation becomes smaller then that participate in the sample refined by the slag without  $\text{TiO}_2$ .

Key words: stainless steel refining slag TiO<sub>2</sub> inclusions TiN

# 0 引言

含Ti铁素体不锈钢由于其低成本、高强度、高

耐蚀性等优点,广泛应用在汽车的排气系统和消声器上<sup>[1]</sup>。通常向超纯铁素体不锈钢中添加 Ti、Nb 等合金元素固定间隙原子碳、氮,形成非常稳定的Ti、

收稿日期: 2019-09-24

基金项目: 国家自然科学基金(U1810207); 国家自然科学基金(51734002);

作者简介: 冯晓霞(1994—) ,女 硕士研究生 ,主要从事不锈钢中夹杂物控制的研究 ,E-mail: 1421157355@ qq.com。 王丽君(1979—) ,女 博士 研究领域: 炼钢 ,E-mail: lijunwang@ ustb.edu.cn。

Nb 的碳氮化物 ,从而抑制晶界碳化铬的沉淀 ,降低不锈钢的晶间腐蚀性<sup>[2-3]</sup>。此外 ,不锈钢凝固过程中形成的 TiN 会促进铁素体的生成 ,从而促进等轴细晶粒结构的生成<sup>[4]</sup>。

基于氧化物冶金思想,许多学者 $^{[5-7]}$ 研究了促进 TiN 形核的核心 发现  $Ti_2O_3$ 、MgO- $Al_2O_3$ 、MgO 等由于 较低的错配度 利于 TiN 在其周围形核并长大 因而 通过控制核心夹杂物的种类、形貌、尺寸可以控制 TiN 的形成。施晓芳等人 $^{[5]}$ 研究发现核心是  $Ti_2O_3$  的 TiN 尺寸较小,若 [Ti]/[Al] 控制不当,极易形成  $Al_2O_3$ - $Ti_2O_3$  固溶体,尺寸较大。 Ren Y 等人 $^{[8]}$  采用 热力学方法预测了凝固过程中夹杂物成分 表明 Mg-Al-Ti-O 型夹杂物在 [Mg]、[Al]、[Ti]很大浓度范围 内就可以形成。肖鹏程等人 $^{[9]}$ 研究发现从 RH 到连 铸坯,Ti 的氧化使得夹杂物从  $Al_2O_3$  与 MgO- $Al_2O_3$ ,演变成  $Al_2O_3$ - $Ti_2O_3$  与 MgO- $Al_2O_3$ ,

同时 实际生产中 Ti 的合金化过程 会有部分 Ti 氧化进入渣相 形成含 Ti 的精炼渣。对于精炼渣中 TiO<sub>2</sub> 对含 Ti 不锈钢夹杂物的影响规律及演变情况较少报道。因而笔者在本研究中,设计两组试验 研究精炼渣中 TiO<sub>2</sub> 的添加对夹杂物演变造成的影响。

# 1 钢样的熔炼及试样分析

表 1 试验所用不锈钢的化学成分
Table 1 Chemical compositions of stainless steel used in the experiment %

С	Si	Mn	P	s	Cr	Ti	N	Nb
0.012	0.36	0.07	0.02	0.001	18	0.13	0.012	0.4

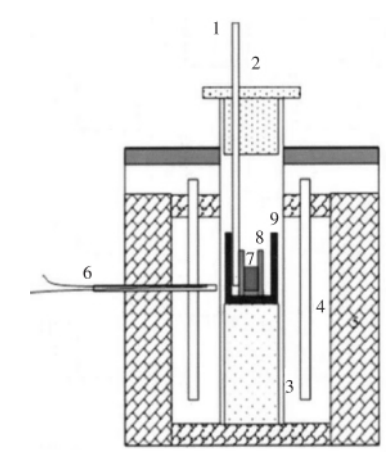
表 2 精炼渣的成分组成

Table 2 Chemical components of the refining slag %

编号	CaO	$SiO_2$	$Al_2O_3$	MgO	${ m TiO}_2$	CaF <sub>2</sub>
1#	45.8	6.2	35	8	0	5
2#	32.6	4.4	35	8	15	5

试验所用设备为 Si-Mo 棒高温电阻炉 ,如图 1 所示。设定好程序 ,以 1 L/min 的速度通入氩气 将 400~g 的不锈钢样品放入 MgO 坩埚并套石墨坩埚置于炉内恒温带随炉升温。当温度升到  $1~600~^{\circ}\mathrm{C}$  时 ,

钢样完全融化 加入 0.13 g 的  $Fe_2O_3$  粉( 使钢中全氧质量分数达到  $100\times10^{-6}$ ) ,再加入 0.06% Al 进行脱氧 5 min 之后用粗石英管向钢液加入精炼渣进行平衡试验,从加入渣的时刻开始计时,分别在 15 、30 、45 、60 、90 min 时取样并水淬; 90 min 平衡之后,将钢样以 10  $^{\circ}$ C /min 的速度随炉冷却。



1-进气管; 2-耐火塞; 3-氧化铝管; 4-MoSi<sub>2</sub> 加热元件; 5-保温材料; 6-双铂铑热电偶; 7-钢样; 8-氧化镁坩埚; 9-石墨坩埚 图 1 试验设备

Fig.1 Schematic experimental device

对过程取样以及熔炼好的钢样使用不同目数的砂纸进行磨制,之后在抛光机上抛光,采用电子扫描电镜结合能谱仪分析样品中非金属夹杂物的形貌、大小尺寸及成分,对其进行分析,测定其化学成分如表3所示。

表 3 反应终点钢液的化学成分
Table 3 Chemical compositions of molten steel
at the end of the reaction %

编号	Al	Mg	Ti	N	ТО
1	0.006 5	0.000 5	0.009 7	0.012	0.003 5
2	0.007 6	0.000 5	0.056	0.011	0.004 1

# 2 结果及分析

### 2.1 精炼渣对夹杂物的影响

通过 Factsage7.1 软件计算和对过程样夹杂物的统计 不锈钢两组试样中夹杂物演变如图 2 所示。图 2(a) 是精炼渣中不含  $TiO_2$ (简称试样 1),图 2(b) 是精炼渣中含 15%的  $TiO_2$ (简称试样 2)。

结果表明、试样 1 中的夹杂物主要是由  $Al_2O_3$  区域直接向  $MgO-Al_2O_3$  区演变 .而试样 2 中夹杂物是先向  $TiO_4$  含量高的区域演变 .再向  $MgO-Al_2O_3$  区演变。

试样  $1 + TiO_x$  含量呈先升高后降低趋势,可能是由于精炼渣吸收了钢中  $TiO_x$  随着反应时间的延长,夹杂物向  $MgO-Al_2O_3$  演变 最终夹杂物演变成  $MgO-Al_2O_3$ ; 试样 2 中夹杂物向  $TiO_x$  含量高的区域演变 是由于精炼渣中含有 15%的  $TiO_2$  在反应最初 主要是渣一钢之间的反应 导致夹杂物中  $TiO_x$  升高 45 min 之后主要是钢液与夹杂物的反应使得  $TiO_x$  含量降低。

两组试样中不同的夹杂物演变方式 ,导致了冶

炼终点的典型夹杂物出现明显种类和尺寸差异。试样  $1 \cdot 2$  的夹杂物形貌如图 3 所示。试样 1 中,钢中的夹杂物有三类: 4  $\mu m$  的  $MgO-Al_2O_3$ (图 3(a)),大于 5  $\mu m$  的  $Al_2O_3$ (图 3(b))和少量的 1  $\mu m$  球形  $Al_2O_3$ -TiO<sub>x</sub>(图 3(c));试样 2 中,夹杂物主要是 2  $\mu m$  的多边形  $MgO-Al_2O_3$ -TiO<sub>x</sub>(图 3(d)),并观察到少量的 4  $\mu m$   $MgO-Al_2O_3$ (图 3(e))与小于 2  $\mu m$  的球形  $Al_2O_3$ -TiO<sub>x</sub>(图 3(f))。

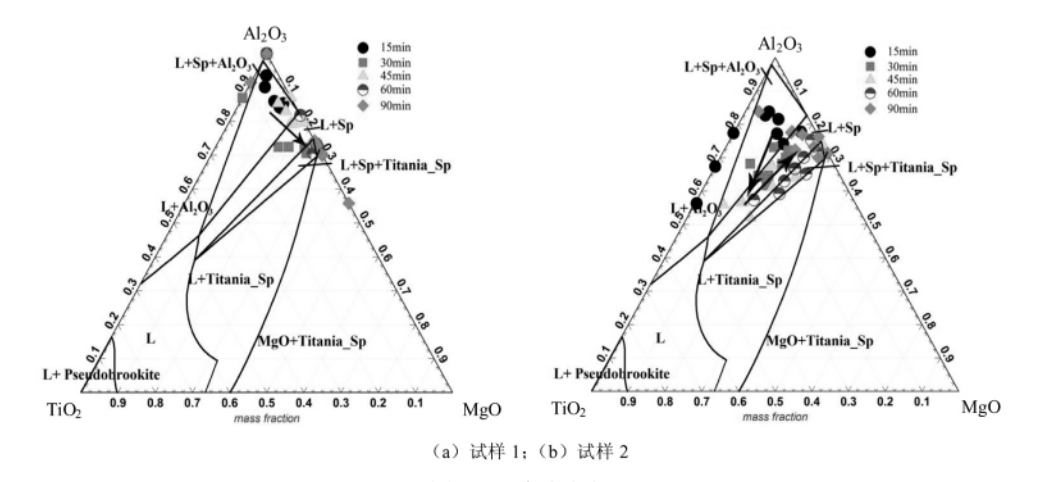
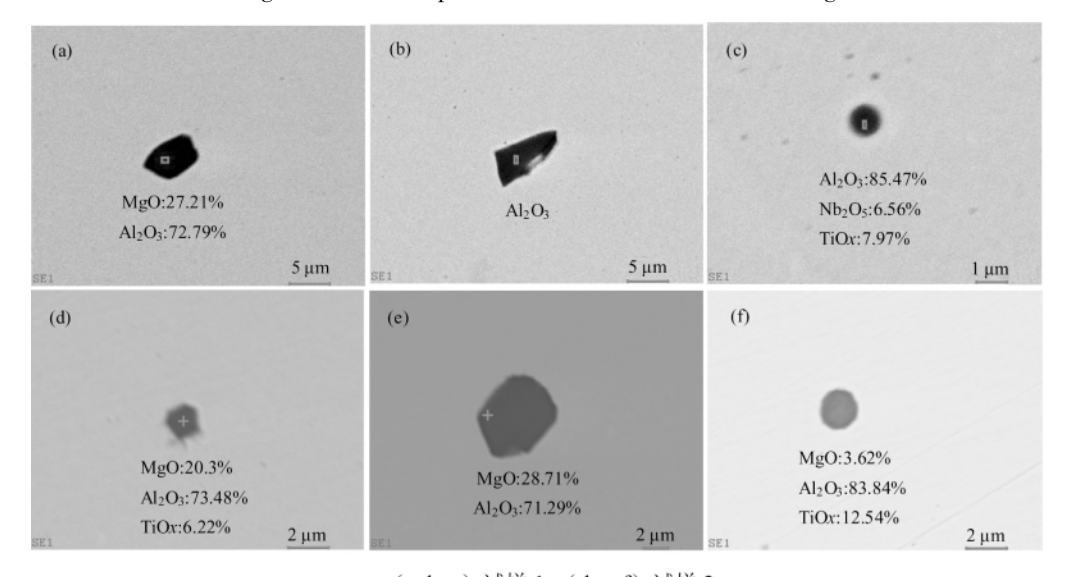


图 2 冶炼过程中夹杂物的演变 Evolution process of inclusions in steelmaking



(a, b, c) 试样 1; (d, e, f) 试样 2

图 3 冶炼终点典型夹杂物 Fig.3 Typical inclusions of steel at the end of smelting

精炼渣中不含  $TiO_2$  时 ,会增加钢中 Ti 的氧化速率 ,随着冶炼时间的延长 ,试样 1 夹杂物  $MgO-Al_2O_3$ - $TiO_x$  中  $TiO_x$  的含量逐渐降低 ,变成直径约 4  $\mu$ m 的  $MgO-Al_2O_3$ ; 精炼渣中含有  $TiO_2$  时 ,会降低钢中 Ti 的氧化速率 ,且夹杂物中含有  $TiO_x$  的夹杂物 ,

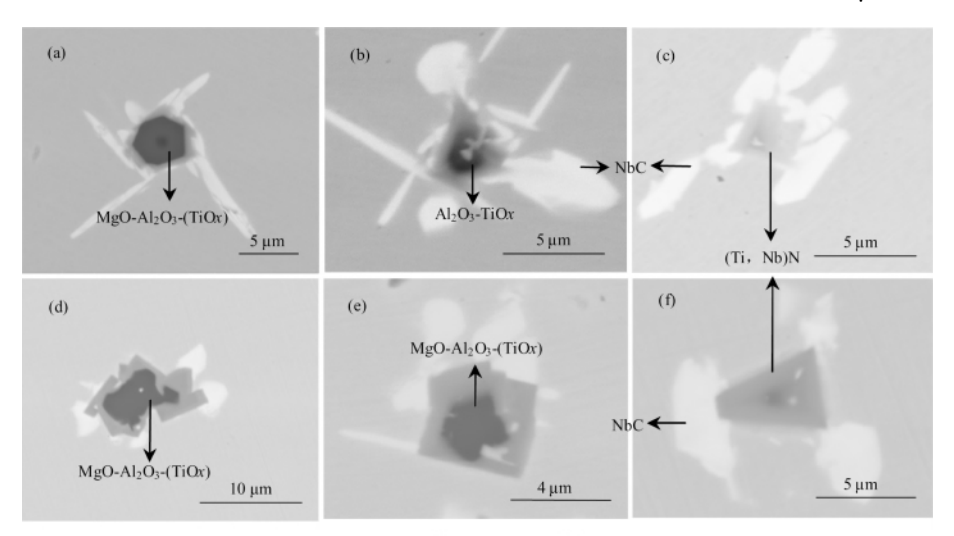
尺寸为  $2\sim3~\mu m$ 。这也表明了 Ti 加入时间过短会导致夹杂物中  $TiO_x$  含量变高 ,钢中 Ti 的利用率变低。提前进行 Ti 合金化 ,较长的冶炼时间使夹杂物  $MgO\text{-}Al_2O_3\text{-}TiO_x$  中  $TiO_x$  含量逐渐降低至 0 ,成  $4~\mu m$  的  $MgO\text{-}Al_2O_3$ 。因而合适的 Ti 合金化时间可以减

小夹杂物的尺寸 也可以减弱 Ti 的氧化。

#### 2.2 精炼渣对析出物的影响

铁素体不锈钢中 TiN 的形貌及尺寸如图 4 所示 图 4 (a)  $\sim$  (c) 中浅灰色部分是试样 1 的 TiN , (d)  $\sim$  (f) 中浅灰色部分是试样 2 的 TiN , 一般 TiN 呈立方形或者三角形 ,试样 1 、2 中均有包裹型和单一型的 TiN。

对比发现,试样 2 中 TiN 尺寸较大。其原因为: ①钢中 Ti 含量较高,在凝固过程中 TiN 的析出温度会更高<sup>[10]</sup> ,其形成的尺寸会较大; ②冶炼终点有少量的 4  $\mu$ m  $MgO-Al_2O_3$  夹杂物,从 TiN 的元素映射图(图 5)可以看出,凝固过程中夹杂物周围的 Ti 浓度较高,会部分氧化,造成夹杂物尺寸变大,致使 TiN 在其表面生长,且尺寸大于 5  $\mu$ m。



(a, b, c) 试样 1; (d, e, f) 试样 2

图 4 铁素体不锈钢中复合夹杂物的形貌 Fig.4 Morphology of composite inclusions in ferritic stainless steel

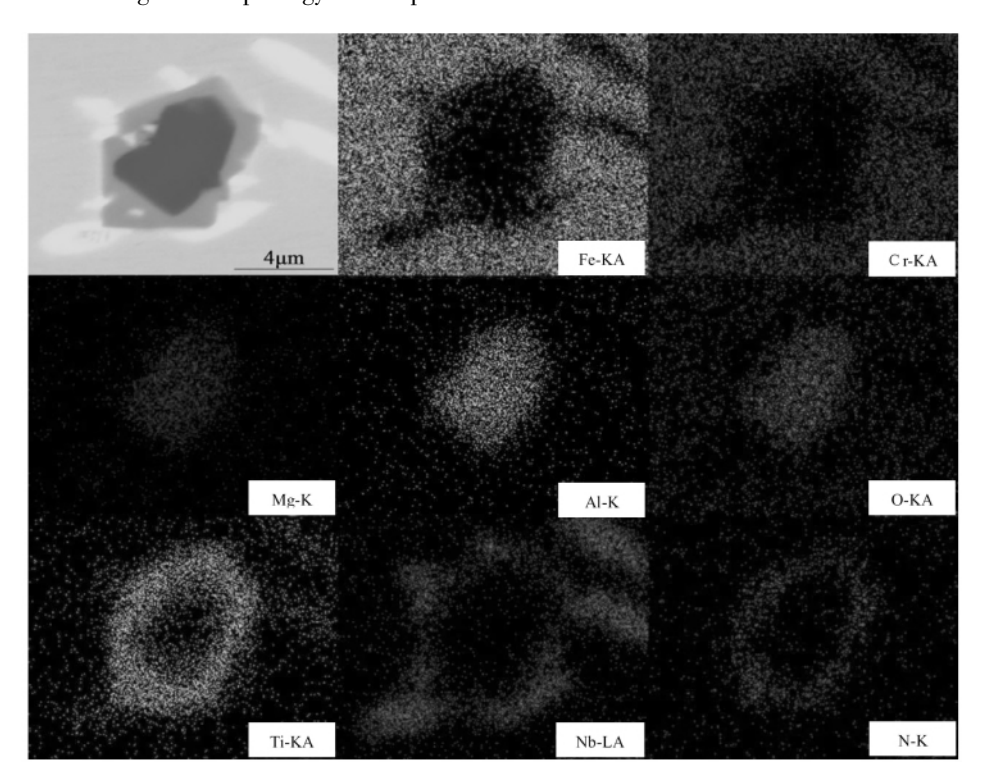
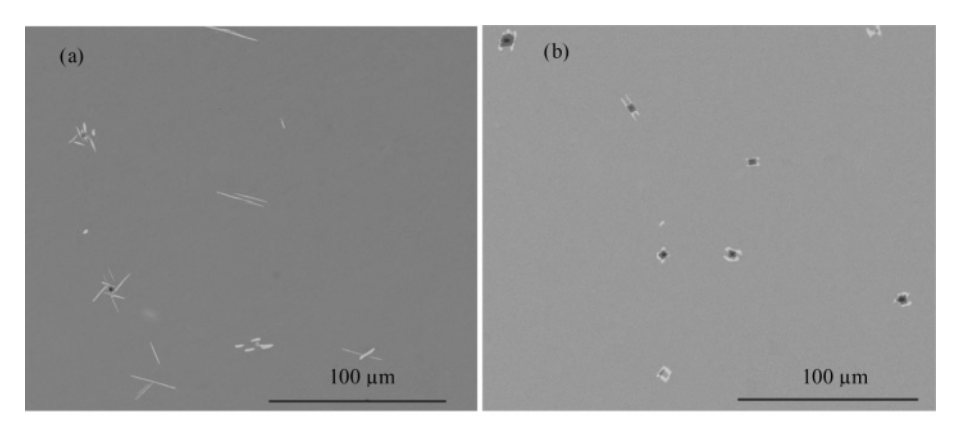


图 5 TiN 的元素映射图 Fig.5 Elemental mapping of TiN

两组试样中尺寸<5  $\mu$ m 的包裹型 TiN 的核心夹杂物尺寸较小,试样 1 中 TiN 包裹的是尺寸小于 2  $\mu$ m 的  $Al_2O_3$ -TiO $_x$ ,试样 2 中 TiN 包裹的是 TiO $_x$  含量大于 5%的 MgO- $Al_2O_3$ -TiO $_x$ (2~3  $\mu$ m),与过程样的夹杂物一致。因此,通过将夹杂物控制成 MgO- $Al_2O_3$ -TiO $_x$ 或  $Al_2O_3$ -TiO $_x$ 进而使 TiN 的尺寸小于 5  $\mu$ m。而精炼渣中添加  $TiO_2$  可以将夹杂物控制成 2~3  $\mu$ m 的 MgO- $Al_2O_3$ -TiO $_x$ ,进而形成较小的 TiN。

两组试样的铸态样品中析出物的形貌如图 6 所

示 其中白色部分是 Nb 的析出物 ,经过能谱分析为 NbC ,两组中 NbC 形貌差别比较大 ,图 6(a) 中的 NbC 析出物形貌主要呈棒状 ,尺寸较大 ,而图 6(b) 中 NbC 析出物形貌主要呈不规则状 ,尺寸较小。由于 Nb( C ,N) 与 TiN 之间的错配度小于 Nb( C ,N) 与 基体之间的错配度 ,Nb( C ,N) 在析出时会优先在 TiN 周围析出[11] 不锈钢中 Nb 的偏析较严重 ,随着 温度的降低 ,TiN 周围液相区中 Nb 偏聚严重 ,达到 Nb 析出物的溶解度时 ,就会析出。



(a)试样 1; (b) 试样 2

图 6 不锈钢中析出物的形貌 Fig.6 Morphology of precipitates in stainless steel

两组试样中 TiN 的尺寸分布如图 7 所示。结果表明,试样 2 中尺寸>5  $\mu$ m 的包裹型 TiN 的数量较多 是因为除了包裹  $MgO-Al_2O_3$  的 TiN 尺寸大于 5  $\mu$ m ,还有冶炼终点  $MgO-Al_2O_3$ -TiO<sub>x</sub>(2~3  $\mu$ m) 夹杂物在较高 Ti 含量下,周围所形成的 TiN 尺寸大于 5  $\mu$ m ,从而增多>5  $\mu$ m TiN 的数量。试样 2 中含有较高的 Ti 含量,使得 TiN 数量较多。

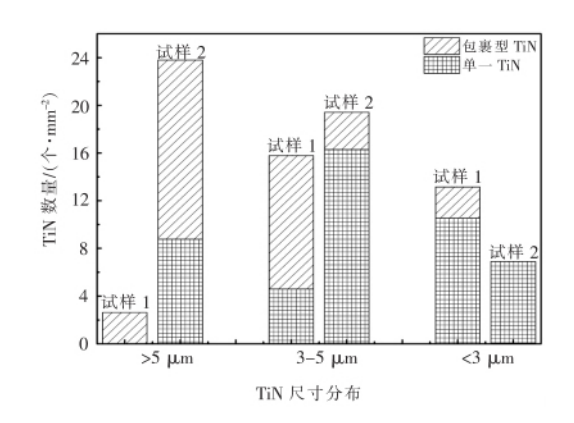


图 7 铁素体不锈钢中 TiN 的尺寸及分布 Fig.7 Size and distribution of TiN in ferritic stainless steel

在 TiN 层中看到少量 Nb 的存在,组成复合析出物(Ti,Nb) N,即图 4 中灰色部分,由于 TiN、TiC、NbN 与 NbC 的结构都为面心立方结构,可以互溶<sup>[12]</sup> 在凝固过程中 TiN 优先析出,Nb 原子扩散到TiN 上,导致 TiN 在钢中与 Nb 形成复杂的(Ti,Nb) N 析出物。文献 [13] 表明,随着温度的降低,析出物中 Nb 的含量逐渐升高,最终演变成纯 NbC。由于试样 1 中 Ti 的含量较低,造成 TiN 具有较低的析出温度,从而导致 TiN 层互溶的 Nb 含量较高。在热处理中,复合(Ti,Nb) N 析出物的 Nb 较难回溶,由于 TiN 层互溶的 Nb 含量较高,热处理所回溶的 Nb 含量越少。固溶强化与沉淀强化的作用越低。当钢中 Ti 含量较高时,TiN 析出温度越高,其互溶的 Nb 含量越少。

在钢凝固过程中,Nb 析出物由于较低的错配度 优先在 TiN 周围析出,钢的冷却速度较慢,为  $10 \, ^{\circ}\mathrm{C}$  / min ,Nb 的扩散速度较快。试样 1 中 TiN 数量较少, 其周围富集 Nb 的含量较高,导致析出温度较高。 在较高的温度下 ,Nb 的扩散性能会升高 ,一次析出 物就会以平衡片状的形貌不断长大,最终导致 NbC

的尺寸较大; 相反在试样 2 中 TiN 数量较多 最终导致 NbC 的尺寸较小。两组试样中渣的不同 ,造成了钢中 Ti 含量的不同 ,从而影响 TiN 的析出 ,TiN 数量越少 ,NbC 尺寸越大 ,在热处理阶段难以回溶 ,降低了沉淀析出的作用。

## 3 结论

1) 精炼渣中不含  $TiO_2$  ,夹杂物从  $Al_2O_3$  区直接向  $MgO-Al_2O_3$  区演变 ,形成 4  $\mu m$  的  $MgO-Al_2O_3$ ; 精炼渣中添加  $TiO_2$  ,夹杂物先向高  $TiO_x$  区演变 ,再向  $MgO-Al_2O_3$  区演变 ,形成含有  $TiO_x$  的夹杂物 ,降低

了夹杂物尺寸,且没有大尺寸的Al<sub>2</sub>O<sub>3</sub>,夹杂物。

- 2) 精炼渣中添加  $TiO_2$  ,增大了渣中  $TiO_2$  的活度 抑制了钢中 Ti 的氧化 ,使得 TiN 的数量与尺寸增大;  $2 \sim 3~\mu m$  的  $MgO-Al_2O_3-TiO_x$  周围所形成的 TiN 较小。
- 3) 精炼渣中添加 TiO<sub>2</sub> 在凝固过程中 ,TiN 数量的增多 ,使其周围富集的 Nb 含量较少 ,导致 NbC 的析出温度较低 ,尺寸较小 ,是不规则状; 相反 精炼渣中不添加 TiO<sub>2</sub> ,会使得 NbC 尺寸较大 ,呈棒状 ,如若在热处理过程中无法回溶 ,就会影响其固溶强化与析出强化作用。

## 参考文献

- [1] You X G Jiang Z H Li H B.Ultra-pure ferritic stainless steels-grade refining operation and application [J]. Journal of Iron and Steel Research International 2007, 14(4): 24-30.
- [2] Kim J M Lee H W.Study for corrosion characteristics of ferritic stainless steel weld metal with respect to added contents of Ti and Nb [J]. Metals and Materials International 2014 20(2): 329-335.
- [3] Aneesh Kumar P Kumaresh Babu S P , Varghese A S. Comparative study on intergranular corrosion characteristics of cast duplex stainless steel stabilized with zirconium [J]. Metallography , Microstructure and Analysis 2017 , 6(4): 324-331.
- [4] Koseki T Inoue H. Equiaxed solidification of steel nucleating on titanium nitride [J]. Journal of the Japan Institute of Metals , 2001 65(7):644-651.
- [5] Shi Xiaofang Cheng Guoguang Zhao Pei.Effect of Al on inclusions in 430 stainless steel containi-ng titanium [J].Iron Steel Vanadium Titanium 2011 32(1):57-61.

  (施晓芳 成国光 赵沛.Al 对含钛 430 不锈钢夹杂物的影响 [J].钢铁钒钛 2011 32(1):57-61.)
- [6] Park J H .Effect of inclusions on the solidification structures of ferritic stainless steel: Computational and experimental study of
- [7] Fujimura H ,Tsuge S ,Komizo Y *et al*. Effect of oxide composition on solidification structure of Ti added ferritic stainless steel [J]. Tetsu to Hagane-Journal of the Iron and Steel Institute of Japan 2001 87(11): 707–712.

inclusion evolution [J]. Calphad-computer Coupling of Phase Diagrams & Thermochemistry 2011 35(4): 455-462.

- [8] Ren Y Zhang L ,Yang W *et al.* Formation and thermodynamics of Mg-Al-Ti-O complex inclusions in Mg-Al-Ti-deoxidized steel [J]. Metallurgical and Materials Transactions B 2014 45(6): 2057–2071.
- [9] Xiao Pengcheng Zhang Shijun ,Liu Zengxun ,et al. Evolution behavior of Al-Ti-Mg-O inclusions in IF steel production process [J]. Steelmaking 2018 ,34(1): 44-50.
  - (肖鹏程 涨仕骏 浏增勋 等.IF 钢生产过程中 Al-Ti-Mg-O 类夹杂物的演变行为[J].炼钢 2018 34(1):44-50.)
- [10] Li Liming ,Feng Yunli ,Yang Lina. Thermodynamic calculation of Ti-containing second phase in Ti microalloyed high strength steel [J]. Iron Steel Vanadium Titanium 2019 40(1):118-122.

  (李立铭 冯运莉 杨丽娜. 钛微合金化高强钢含 Ti 第二相的热力学计算 [J]. 钢铁钒钛 2019 40(1):118-122.)
- [11] Han Yi Shang Yan Han Qingsheng *et al*. Precipitation in low carbon steel microalloyed with Nb for automotive wheel [J]. Metal Heat Treatment 2009 34(8):52-56.
  - ( 韩毅, 商艳, 韩庆生, 等. 汽车车轮用低碳 Nb, 微合金钢中的析出行为研究[J]. 金属热处理, 2009, 34(8): 52-56.)
- [12] Pandit A "Murugaiyan A "Podder A S *et al.* Strain induced precipitation of complex carbonitrides in Nb–V and Ti–V microalloyed steels [J]. Scripta Materialia 2005 53(11): 1309–1314.
- [13] Luo Yanzhao Zhang Jiongming Xiao Chao *et al*. Evolution of precipitates in Nb-Ti binary low-carbon microalloyed steels [J]. Journal of University of Science and Technology Beijing 2012 34(7):775-782. (罗衍昭 张炯明 肖超 筹.低碳 Nb-Ti 二元微合金钢析出过程的演变[J].北京科技大学学报 2012 34(7):775-782.)

编辑 杨冬梅